

TAREA 2

Prepara 5 de los siguientes ejercicios para entregar.

1. (a) Considera movimientos planares bajo la ley de Hooke: $\ddot{q} = -q$, con $q \in \mathbb{C}$ y pon $v := \dot{q} \in \mathbb{C}$.
Deja que $u_1 := q + iv, u_2 := \bar{q} + i\bar{v}$. Mostrar que la proporción $u_1/u_2 \in \mathbb{C}$ (cuando $u_2 \neq 0$) queda constante sobre órbitas.

(b) Una línea compleja en \mathbb{C}^2 es un subespacio de la forma: $\{\lambda(u_1, u_2) : \lambda \in \mathbb{C}\}$ con $(u_1, u_2) \in \mathbb{C}^2 \setminus (0, 0)$. Decimos que la línea compleja es generada por (u_1, u_2) . La línea proyectiva compleja, \mathbb{CP}^1 , es el conjunto de líneas complejas en \mathbb{C}^2 . Para $(u_1, u_2) \in \mathbb{C}^2 \setminus (0, 0)$ escribimos $(u_1 : u_2) \in \mathbb{CP}^1$ para la línea compleja generada por (u_1, u_2) .
Dado $l \in \mathbb{CP}^1$, mostrar que el conjunto de $(u_1, u_2) \in \mathbb{C}^2$ con $|u_1|^2 + |u_2|^2 = 1$ y $(u_1 : u_2) = l$ es un círculo.

(c) El mapa $h : \mathbb{C}^2 \setminus (0, 0) \rightarrow \mathbb{CP}^1, (u_1, u_2) \mapsto (u_1 : u_2)$ es llamado el mapa de Hopf.¹
Definimos dos mapas, $a : \mathbb{CP}^1 \setminus 1pt. \rightarrow \mathbb{C}, (u_1 : u_2) \mapsto u_1/u_2$ y $s : \mathbb{C} \rightarrow S^2 \setminus 1pt., z \mapsto (\frac{2z}{|z|^2+1}, \frac{|z|^2-1}{|z|^2+1})$ la proyección estereográfica.
Verificar que la composición de estos mapas, $s \circ a$, se extiende a un mapa $f : \mathbb{CP}^1 \rightarrow S^2$.
Da una fórmula explícita para el mapa $H = f \circ h : \mathbb{C}^2 \rightarrow S^2$.
2. Considera movimientos planares bajo una fuerza central: $\ddot{q} = -\frac{q}{|q|^{\alpha+2}}, q \in \mathbb{C}$ donde $\alpha > 0$. ¿Para cuáles valores de la energía sería posible tener movimientos acotados?
3. Considera el cono $\mathcal{C} := \{z^2 = x^2 + y^2\} \subset \mathbb{R}^3$. Dado un plano $\pi = \{ax + by + cz = d\}$, la curva de intersección $\pi \cap \mathcal{C}$ es llamada una cónica en π . Llamamos a una cónica cerrada una elipse.
(a) Mostrar que existen dos puntos $f_1, f_2 \in \pi$, llamados los focos de la elipse, t.q. la elipse sea el conjunto de puntos $p \in \pi$ que satisfacen $dist(p, f_1) + dist(p, f_2) = cst.$ (sugerencia: usa o busca el método de esferas de Dandelin).
(b) Deja que f_1 sea un origen para un sistema de coordenadas Cartesianas (X, Y) para el plano π . Mostrar que la ecuación de la elipse en estas coordenadas tiene la forma: $R = aX + bY + c$, donde $R = \sqrt{X^2 + Y^2}$.
(c) También llamamos al conjunto de puntos definidos por una ecuación de la forma $R = aX + bY + c$ una cónica (con foco en el origen). Deja que f sea un punto fijado y ℓ una línea fijada en el plano. Mostrar que el conjunto de puntos en el plano con $dist(p, f)/dist(p, \ell) = cst.$ es una cónica con foco en f .
(d) Mostrar que la proyección ortogonal a el plano xy de una elipse $\mathcal{C} \cap \pi$ es una elipse en el plano xy con foco en el origen.
4. Considera un órbita, $q(t)$, del problema de Kepler, $\ddot{q} = -q/|q|^3$, contenido en el plano xy , el cual es $\{z = 0\} \subset \mathbb{R}^3$ y deja que $\mathcal{C} := \{z^2 = x^2 + y^2\} \subset \mathbb{R}^3$.
Deja que $Q(t)$ sea el levantamiento ortogonal (ver figuras) de $q(t)$ a \mathcal{C} . Mostrar que existe una constante k t.q. $X(t) := Q(t) - (0, 0, k)$ satisface:
$$\ddot{X} = -X/|q|^3.$$

Deducir que $X(t)$ queda en algún plano fijo, y que por lo tanto $Q(t)$ se mueve a lo largo de la intersección de \mathcal{C} con algún plano. (con problema 3(d), has demostrado la primera ley de Kepler).

¹Comentario: si restringes h a $S^3 = \{|u_1|^2 + |u_2|^2 = 1\} \subset \mathbb{C}^2$, y haces una proyección estereográfica: $S^3 \setminus 1pt.$ a \mathbb{R}^3 , es posible hacer dibujos de varios niveles de h en \mathbb{R}^3 . Por ejemplo, las pre-imágenes por H de latitudes de S^2 son tori en \mathbb{R}^3 , mientras que las pre-imágenes de puntos en esta latitud son círculos contenidos en este toro, todos los cuales están vinculados. Si uno tiene talento con gráficos de computadora, es posible hacer unos dibujos bonitos (o simplemente busqua en internet la 'fibración de Hopf').

5. ¹ (a) Considera una curva $c(s)$ contenida en la esfera unitaria, S^2 , es decir que $|c(s)| = 1$ para todo s . Suponer que la curva sea parametrizada por longitud, es decir que se mueva con velocidad unitaria: $|c'(s)| = 1$. Pon $n(s) := c(s) \times c'(s)$. Mostrar que

$$c''(s) = -c(s) + k(s)n(s),$$

donde $k(s) \in \mathbb{R}$. Llamamos a k la *curvatura geodesica con signo* de la curva (porque $|k| = \kappa_{\text{esf}}$), ver las figuras para una interpretación geometrica de k .

(b) Cuando observamos un objeto astronómico de la tierra –por ejemplo un cometa– podemos medir la línea de visión de nosotros hacia el objeto. En las notaciones de la figura, podemos medir $c := \frac{\vec{C}}{C} \in S^2$ donde $C := |\vec{C}|$.

Considera la parametrización por longitud, $c(s)$, de la curva c , y pon $v := |\dot{c}(t)| = \frac{ds}{dt} = \dot{s}$. Mostrar que

$$\ddot{\vec{C}} \cdot n = Ckv^2,$$

donde $n = c \times c' = c \times \frac{dc}{ds}$.

(c) Deja que $\vec{r} = E\vec{S}$ sea el vector de posición de la tierra desde el sol y \vec{R} el vector de posición del objeto desde el sol, para que: $\vec{r} + \vec{C} = \vec{R}$. Assumiendo que \vec{r}, \vec{R} son soluciones a la ecuación de Kepler: $\ddot{\vec{r}} = -\frac{\vec{r}}{r^3}, \ddot{\vec{R}} = -\frac{\vec{R}}{R^3}$ mostrar que:

$$\ddot{\vec{C}} \cdot n = \vec{r} \cdot n \left(\frac{1}{r^3} - \frac{1}{R^3} \right).$$

6. (a) Considera una distribución continua de masa sobre la superficie de una esfera con densidad constante. Mostrar que un punto adentro de la esfera no tiene ninguna fuerza debido a la esfera actuando sobre el.
- (b) Considera una distribución continua de masa sobre una bola sólida con densidad constante. Mostrar que un punto adentro de la bola está sometido a una fuerza proporcional a su distancia del centro de la bola y dirigida hacia el centro de la bola. ²
7. Considera el movimiento libre de una partícula restringida a una superficie de revolución (ver figuras). Mostrar que el componente del momento angular a lo largo del eje de revolución es constante sobre el movimiento. ¿Todavía es una costante de movimiento cuando hay una fuerza gravitacional paralela al eje?
8. ³ Considera el 'péndulo de Hyugens': pegamos una cuerda a la 'cusp' de una curva cicloide tal que un peso en el otro extremo de la cuerda se mueva a lo largo de la evolvente de la cicloide. Deja que s sea la longitud sobre este evolvente con $s = 0$ en el punto mas bajo. Mostrar que $\ddot{s} = -ks$ para alguna constante k .
9. Considera el sistema: $\ddot{x} = U'(x)$ con $x \in \mathbb{R}$. Supón que este sistema admite órbitas periódicas (es decir soluciones que trazan curvas cerradas en el plano (x, \dot{x})) para algún intervalo de valores de la energía. Deja que $A(E)$ sea el area en el plano (x, \dot{x}) encerrada por tal órbita periódica de energía E y deja que $T(E)$ sea el periodo de esta órbita. Mostrar que $\frac{dA}{dE} = T$.

¹comentario: si pones igual las resultados de partes (b) y (c) de este problema y interpretalos geometricamente, uno obtiene la 'teorema de Lambert sobre senderos aparentes' (ver figuras). La igualdad de partes (b) y (c) también da un método para determinar órbitas de objetos: asumiendo que sabemos $\vec{r}(t)$, (b) y (c) combinan a dar una relación $f(R, C) = 0$. Usando la relación adicional $g(R, C) = 0$ desde $R^2 = r^2 + 2\vec{r} \cdot \vec{C} + C^2$, uno puede determinar $C(t)$ que junto con $c(t)$ determina la órbita, $\vec{R}(t)$ del objeto (sin embargo, hay otros metodos mas eficientes para determinar órbitas debido a Laplace y Gauss).

²En particular, si hubiera un túnel a través la bola, un objeto soltado en este túnel oscilaría de un lado a otra como el movimiento de los resortes.

³Este problema muestra que el péndulo de Hyugens tiene un periodo de oscilación independiente de las condiciones iniciales –es un buen péndulo para relojes. También, esta curva evolvente –que es otra cicloide de la tarea 1– es una curva 'tautochrone': si sueltas el peso desde cualquier posición en la curva este llegara al fondo en el mismo intervalo de tiempo.

10. Considera dos masas puntuales, m, M , situadas en una línea con distancias x, y a una pared de reflexión (ver figura). Pon $u = \dot{x}, v = \dot{y}$. Suponemos que las colisiones entre las masas son perfectamente elásticas:

cuando hay colisión con la pared, $x = 0$, reemplazamos $u \rightarrow -u$,

cuando hay colisión entre las masas, $x = y$, reemplazamos $u \rightarrow \tilde{u}, v \rightarrow \tilde{v}$ t.q. preservemos el momento lineal $mu + Mv = m\tilde{u} + M\tilde{v}$ y la energía cinética: $mu^2 + Mv^2 = m\tilde{u}^2 + M\tilde{v}^2$.

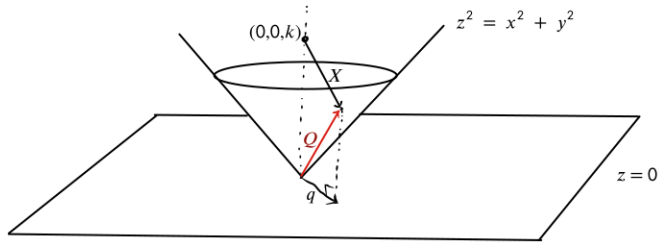
(a) Pon $X := \sqrt{m}x, Y := \sqrt{M}y$ y $U := \dot{X}, V := \dot{Y}$. Mostrar que, para preservar su orden en la línea, las posiciones X, Y deben estar en el sector: $Y \geq \sqrt{\frac{M}{m}}X \geq 0$ del plano (X, Y) . Aquí $X = 0$ representa una colisión con la pared y $Y = \sqrt{\frac{M}{m}}X$ representa una colisión de las masas.

(b) Pon $\vec{v} := (U, V)$. Mostrar que cuando chocamos con la pared, reemplazamos \vec{v} con su reflexión sobre la línea $X = 0$. Mostrar que cuando las masas chocan la una con la otra, reemplazamos \vec{v} con su reflexión sobre la línea $Y = \sqrt{\frac{M}{m}}X$.

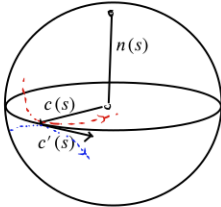
(c) ¹ Entre colisiones, el movimiento de las masas es lineal: $(X, Y) + t\vec{v}$. En lugar de reflejar la velocidad sobre la frontera del sector, puedes reflejar el sector sobre la frontera (ver figura) y dejar que el movimiento continúe linealmente. Si la velocidad inicial es $\vec{v} = (0, V)$, contar el número de colisiones en términos de $\alpha = \arctan \sqrt{\frac{m}{M}}$.

¹En el caso especial: $M = 10^{2N}m$, una tendrá $\tan \alpha = 10^{-N}$, que es pequeño cuando $N > 0$. Reemplazar $\tan \alpha \approx \alpha$, causará que el número de choques en este caso sea: $\lfloor 10^N \pi \rfloor$ = los primeros N dígitos de π . El reemplazamiento de $\tan \alpha$ con α se puede justificar (ver el artículo de Galperin).

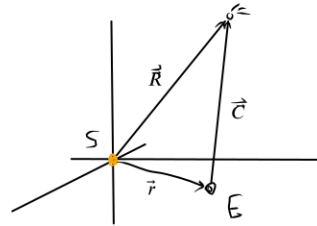
#4



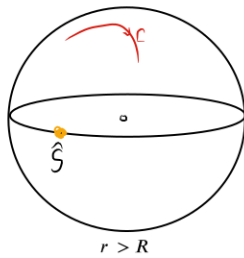
#5



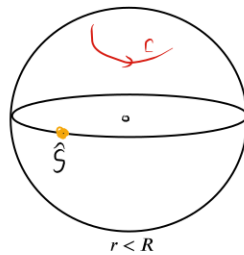
cuando $k(s) > 0$ (rojo) la curva se dobla hacia $n(s)$
cuando $k(s) < 0$ (azul) la curva se dobla fuera de $n(s)$



en observando un objeto astronómico,
podemos medir el vector unitario a lo largo de \hat{C}



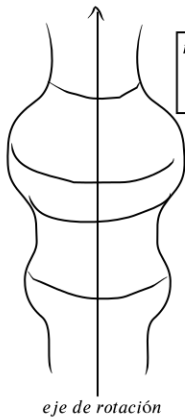
$r > R$



$r < R$

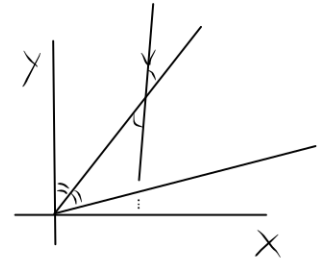
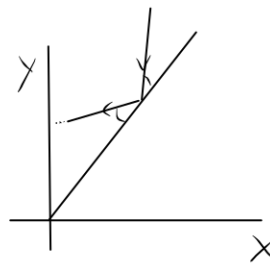
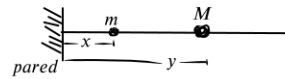
Teorema de Lambert sobre el sendero aparente de un objeto. En la 'esfera de líneas de visión desde la tierra' :
* cuando el sendero del objeto se dobla hacia el sol, el objeto es más cerca al sol que la tierra ,
* cuando el sendero del objeto se dobla fuera del sol, el objeto es más lejos al sol que la tierra.

#7



rodeando una curva en espacio
alrededor un eje genera un
superficie de revolución.

#10



lado izquierda, reflejamos la velocidad sobre la frontera
lado derecha, reflejamos el sector sobre la frontera.

Created with IDroo.com